

Taxonomia de les unitats d'habitació i de les agrupacions interviàries (traçats viaris)

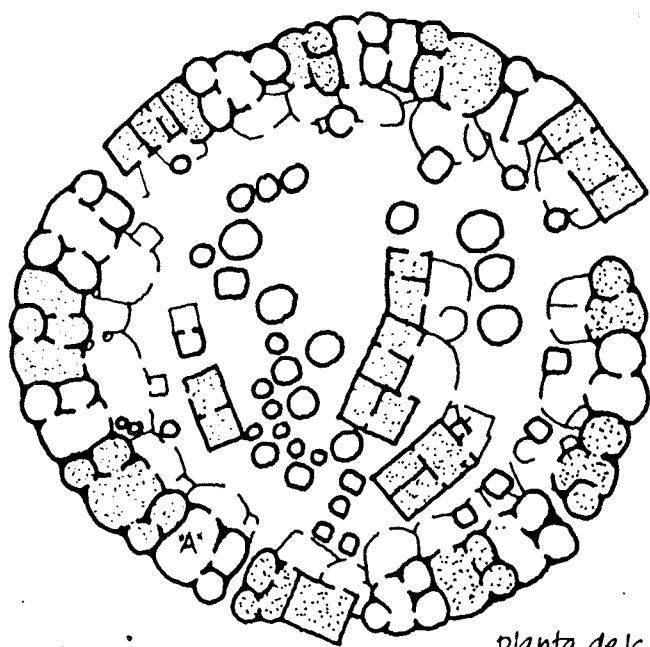
Tesi doctoral: Salvador Tarragó i Cid

Índex general tesi digitalitzada

Índex general paper	Pag.doc	Pag.doc
text: 01Stc01de19.pdf	6-35	
Introducció		
text: 1Stc01de19.pdf	36-60	
Capítol II		
Condicionants urbanització 1ària	2-38	
text: 02Stc02de19.pdf		
Capítol IV		
Condicionants urbanització 2ària		
text: 03Stc03de19.pdf	33-88	
gràfic: 10Stc10de19.pdf	14-35	
Capítol VI		
Condicionants urbanització 3ària		
text: 04Stc04de19.pdf	60-95	
05Stc04de19.pdf	2-38	
gràfic: 12Stc12de19.pdf	52-55	
13Stc13de19.pdf	2-22	
Capítol VII-2		
Formes d'urbanització 3ària : ciutats		
text : 07Stc07de19.pdf	20-124	
08Stc08de19.pdf	2-50	
gràfic: ciutats		
16Stc16de19.pdf	62-64 sic	
16Stc16de19.pdf	3-43	
17Stc17de19.pdf	2-81	
18Stc18de19.pdf	2-66	
19Stc19de19.pdf	2-22	
Capítol I		
Plantejaments teòrics		69-91
text: 02Stc02de19.pdf		
Capítol III		
Formes d'urbanització 1ària aixoplucs i campaments		
text: 02Stc02de19.pdf		39-100
03Stc03de19.pdf		2-32
gràfic: 09Stc09de19.pdf		5-62
10Stc10de19.pdf		2-12
Capítol V		
Formes d'urbanització 2ària : barraques i aldees.		
text: 03Stc03de19.pdf		90-124
04Stc04de19.pdf		2-58
gràfic : 10Stc10de19.pdf		37-54
11Stc11de19.pdf		2-53
12Stc12de19.pdf		2-50
Capítols VII-1		
Formes d'urbanització 3ària: cases i palaus.		
text: cases i palaus		
05Stc05de19.pdf		41-31
06Stc06de19.pdf		2-106
07Stc07de19.pdf		2-18
gràfic: cases		
13Stc13de19.pdf		24-105
14Stc14de19.pdf		2-77
15Stc15de19.pdf		2-56
16Stc16de19.pdf		2
gràfic: palaus		
16Stc16de19.pdf		65-86sic
16Stc16de19.pdf		44-59sic
Capítol VIII		
Conclusions		
text : 08Stc08de19.pdf		52-88
09Stc09de19.pdf		2-4

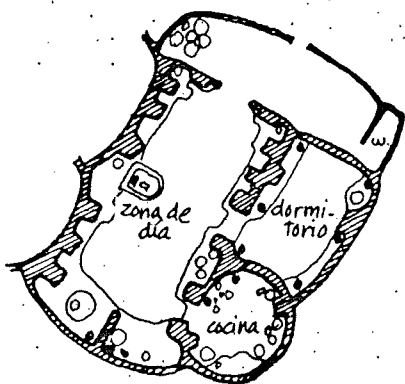
TAXONOMIA DE LES UNITATS D'HABITACIÓ I DE LES AGRUPACIONS INTERVIÀRIES

Tesi doctoral de SALVADOR TARRAGÓ CID



planta de la agrupación

0 10 20 30 m



planta de la vivienda "A"

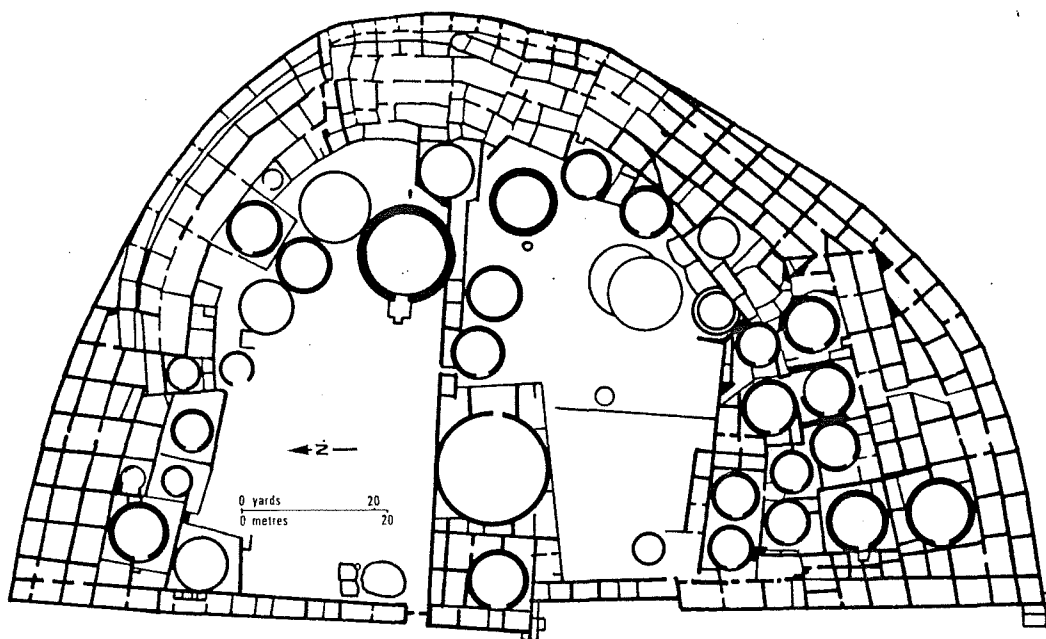
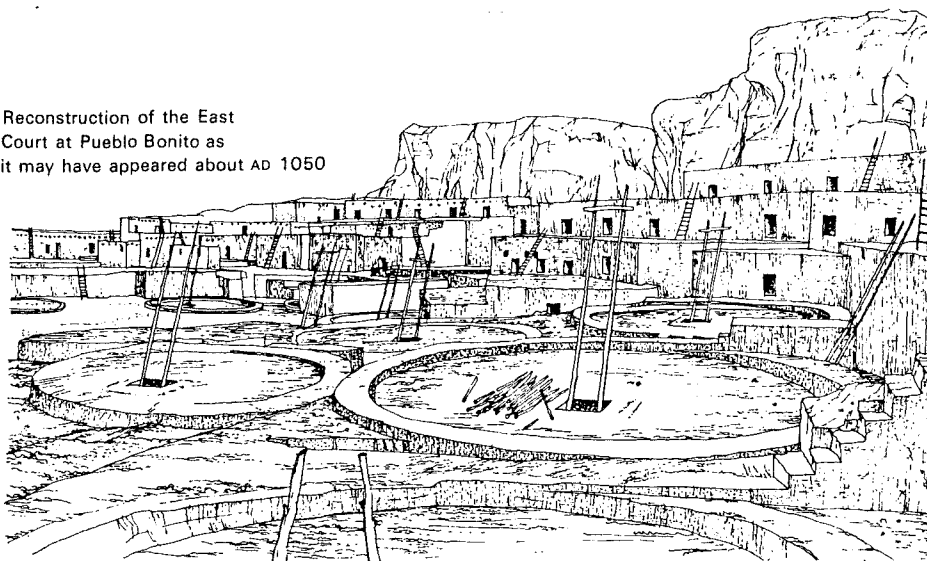
0 1 2 3 4 5 10 m

Vivienda gurunsi,
según René Zardi

Gràfic 182.- Agrupació d'estatges Gurunsi.

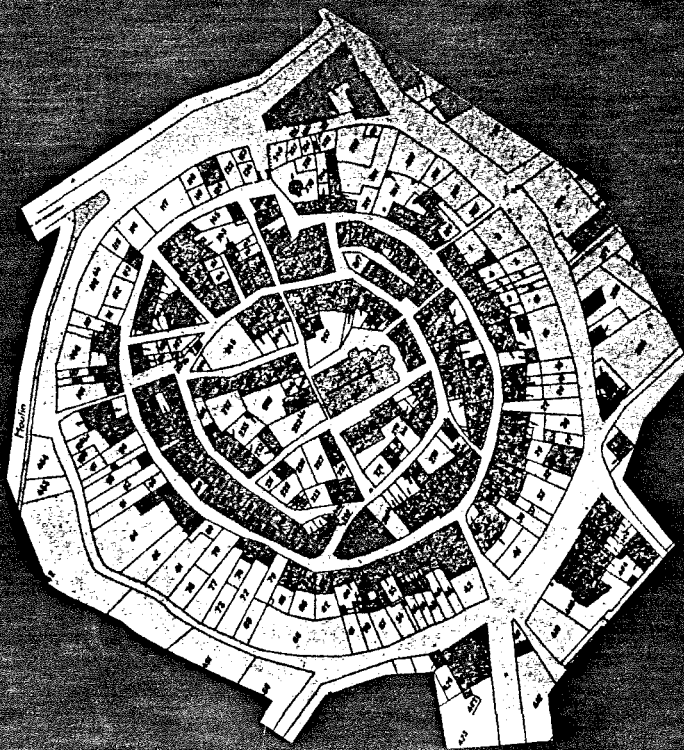
AGRUPACIONS INTERVIÀRIES DE TRAÇAT SEMIREGULAR.
ASSENTAMENTS ENCREUATS MÚLTIPLES SEMIREGULARS.
B.- RADIOCÈNTRICS. B.2. CONCÈNTRICS.

Reconstruction of the East
Court at Pueblo Bonito as
it may have appeared about AD 1050



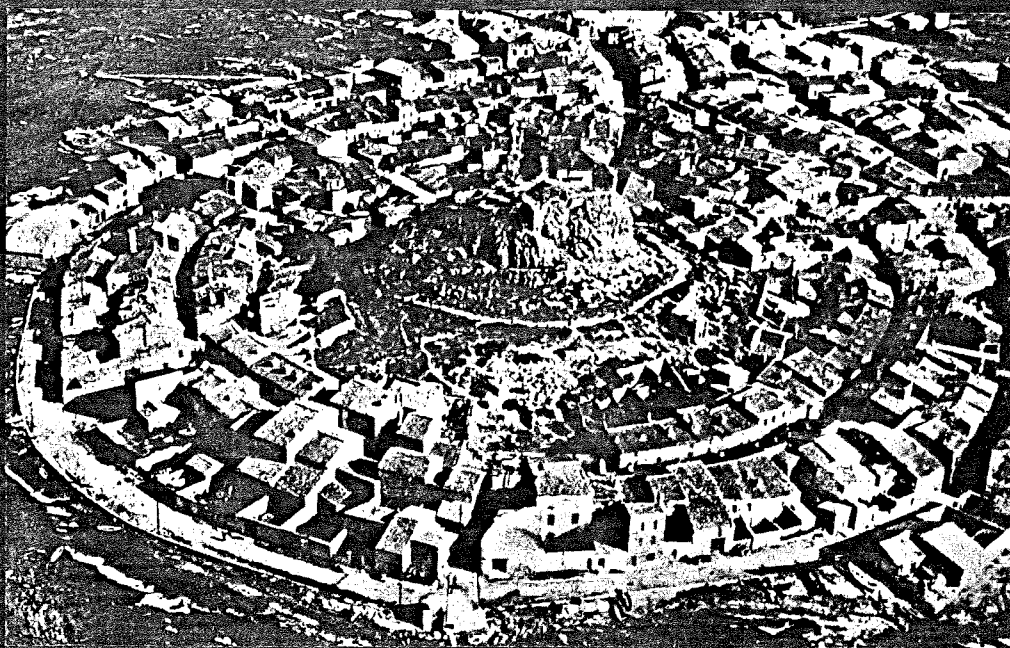
Gràfic 183.- Plànol de Pueblo Bonito dels indis Pueblo.

AGRUPACIONS INTERVIÀRIES DE TRAÇAT SEMIREGULAR.
ASSENTAMENTS ENCREUATS MÚLTIPLES SEMIREGULARS.
B.- RADIOCÈNTRICS. B.2. CONCÈNTRICS.



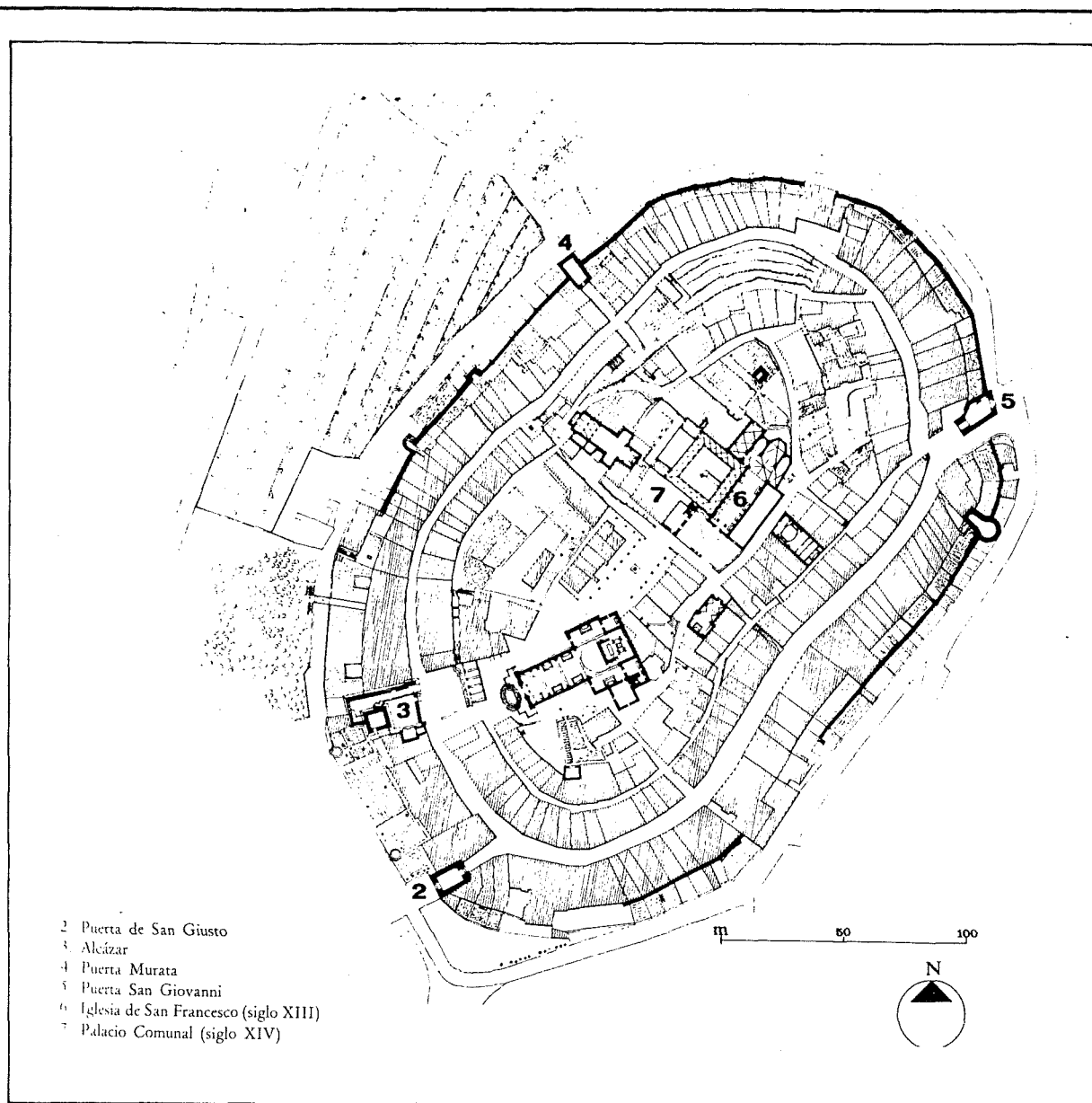
Gràfic 184-1.- Plànol de Bram, Aude, i vista aèria.

AGRUPACIONS INTERVIÀRIES DE TRAÇAT SEMIREGULAR.
 ASSENTAMENTS ENCREUATS MÚLTIPLES SEMIREGULARS.
 B.- RADIOCÈNTRICS. B.2. CONCÈNTRICS.



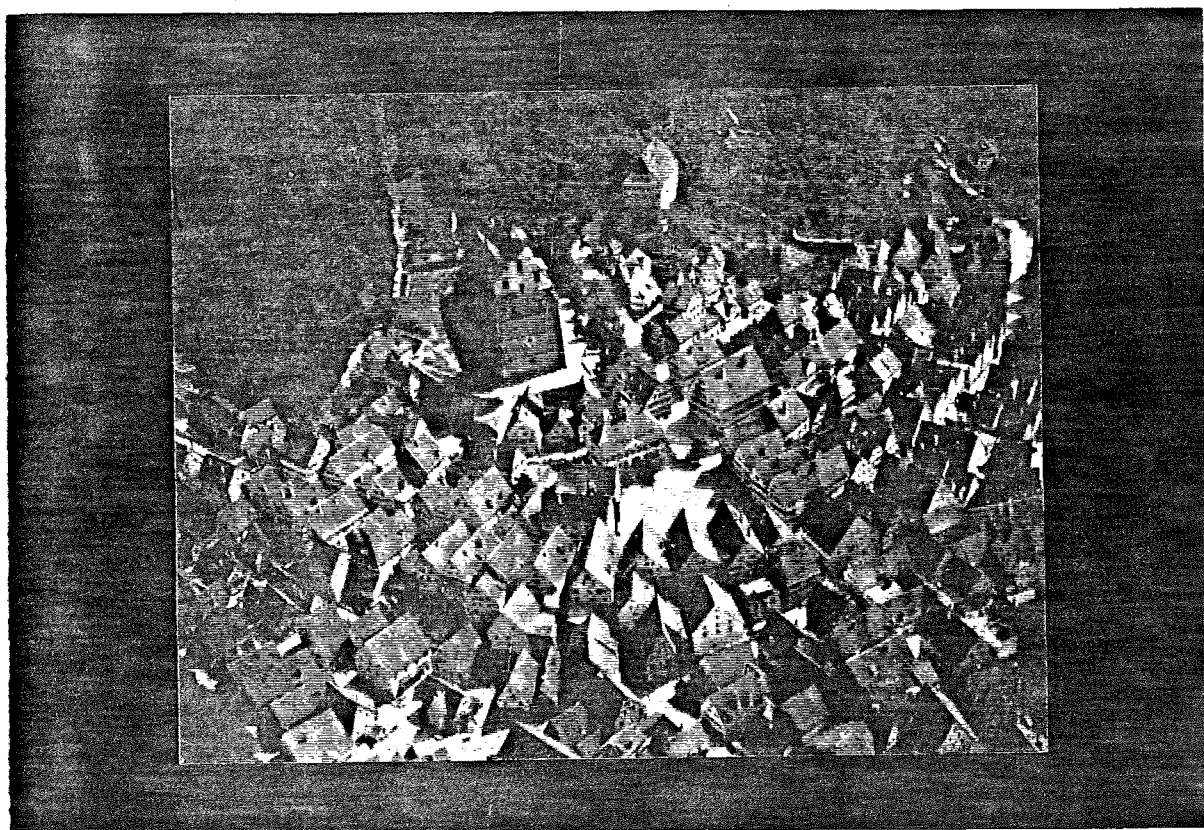
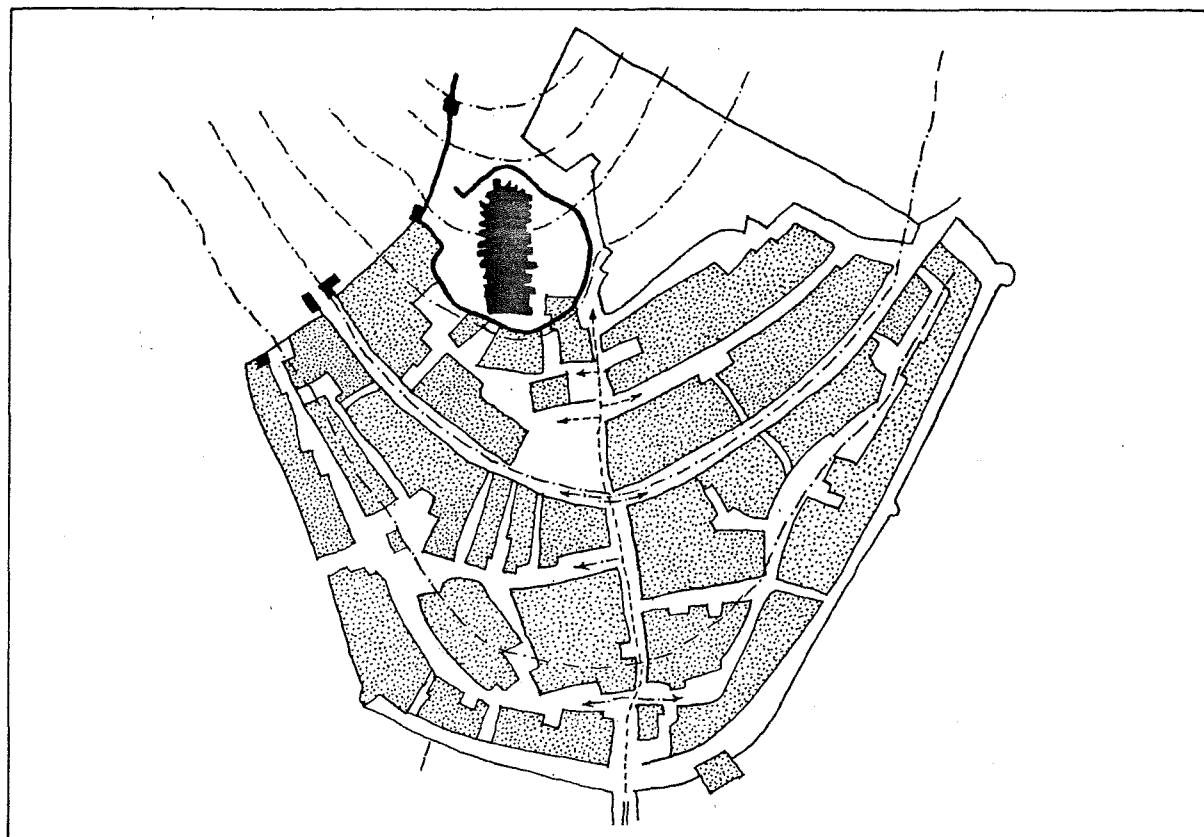
Gràfic 184-2.- Plànol de Gruissan, Aude, i vista aèria.

AGRUPACIONS INTERVIÀRIES DE TRAÇAT SEMIREGULAR.
 ASSENTAMENTS ENCREUATS MÚLTIPLES SEMIREGULARS.
 B.- RADIOCÈNTRICS. B.2. CONCÈNTRICS.



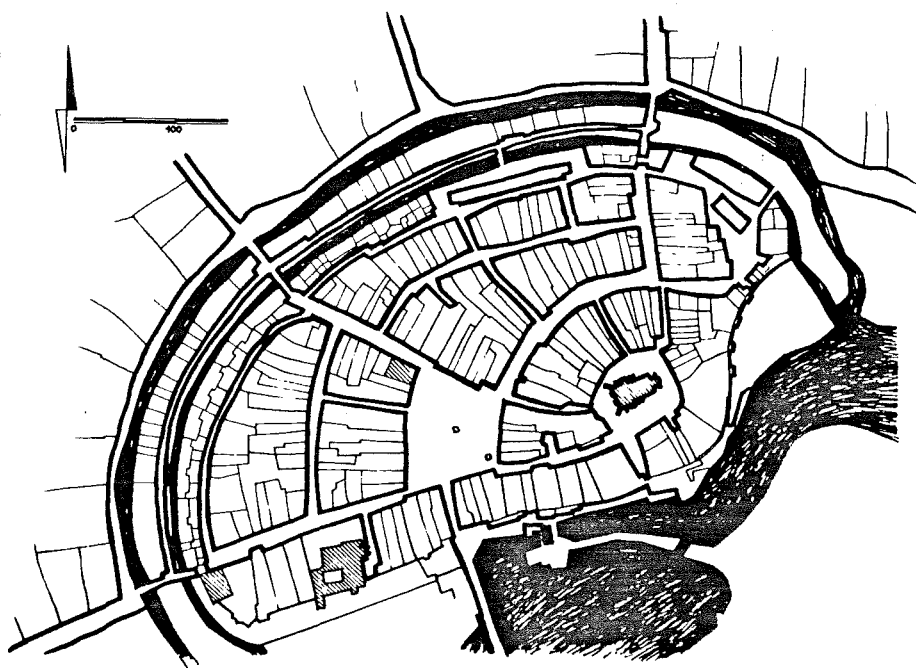
Gràfic 185.- Plànol de Lucignano a Val de Chiana.

AGRUPACIONS INTERVIÀRIES DE TRAÇAT SEMIREGULAR.
 ASSENTAMENTS ENCREUATS MÚLTIPLES SEMIREGULARS.
 B.- RADIOCÈNTRICS. B.2. CONCÈNTRICS.



Gràfic 186.- Pla i vista aèria de Herrenberg, Alemanya.

AGRUPACIONS INTERVIÀRIES DE TRAÇAT SEMIREGULAR.
 ASSENTAMENTS ENCREUATS MÚLTIPLES SEMIREGULARS.
 B.- RADIOCONCÈNTRICS. B.3. RADIOCONCÈNTRICS ERICTES.



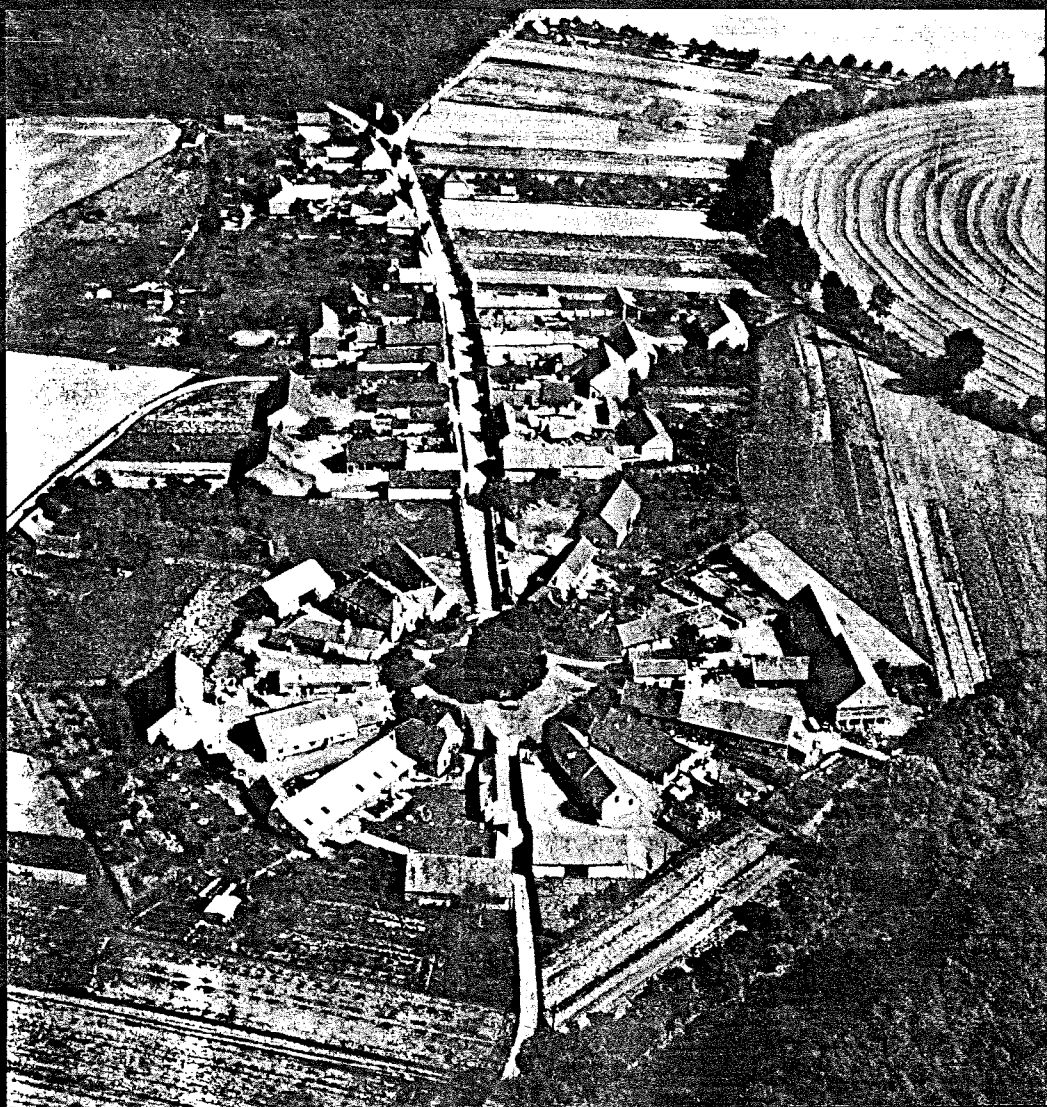
Gràfic 187.- Pla de Nymburg, Bohèmia central, cap al 1842.

AGRUPACIONS INTERVIÀRIES DE TRAÇAT SEMIREGULAR.
ASSENTAMENTS ENCREUATS MÚLTIPLES SEMIREGULARS.
B.- RADIOCONCÈNTRICS. B.3. RADIOCONCÈNTRICS ESTRINGITS.



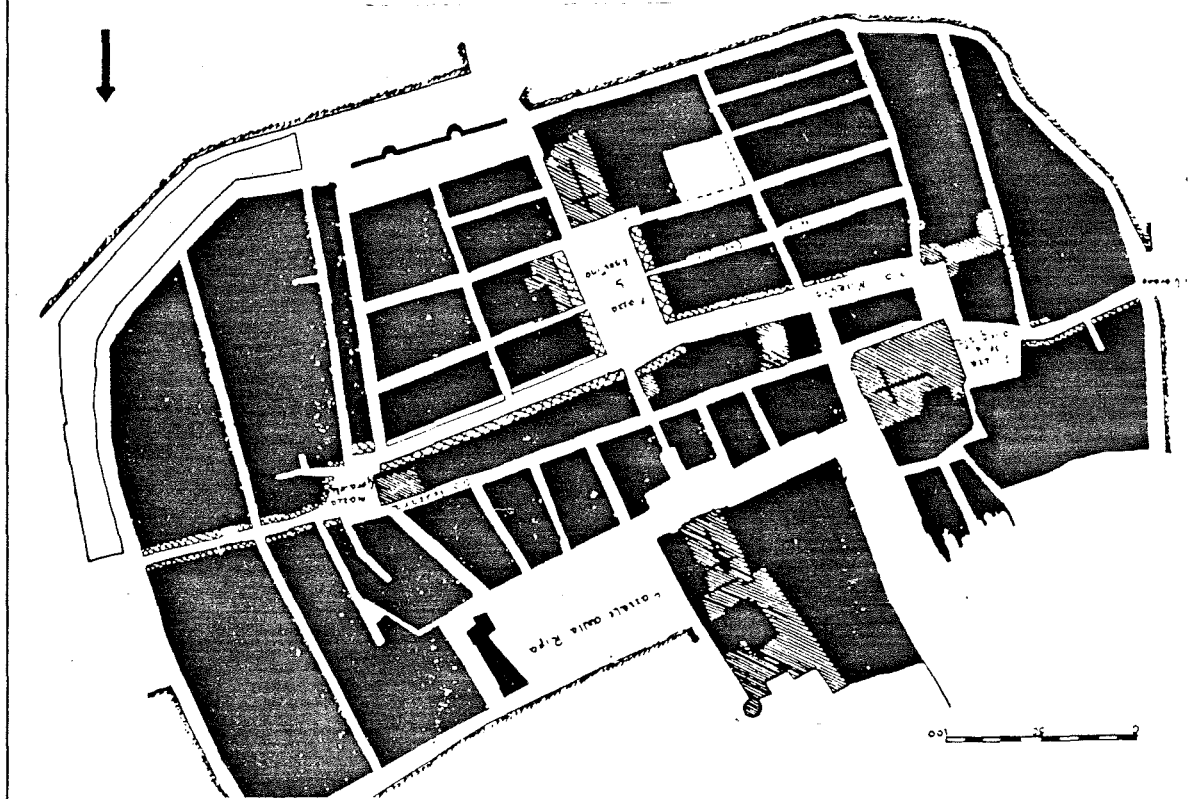
Gràfic 188.- Plànol del vilatge Ashanti de Vell Kwamo a Ghana.

AGRUPACIONS INTERVIÀRIES DE TRAÇAT SEMIREGULAR.
 ASSENTAMENTS MIXTES SEMIREGULARS.
 A.- JUXTAPOSICIONS.



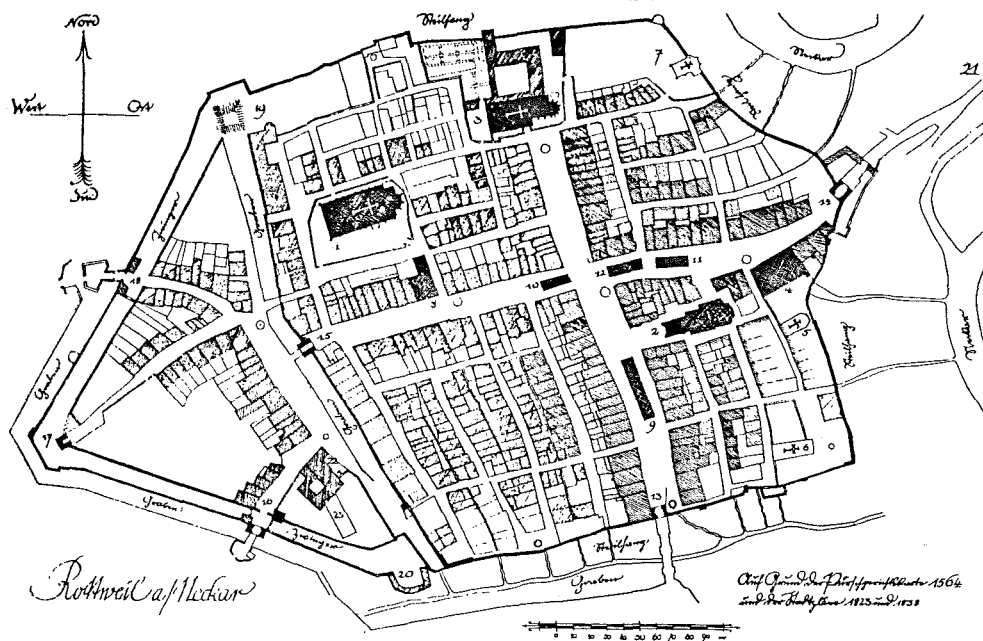
Gràfic 189.- Vista aèria de l'aldea polonesa de Byšičky.

AGRUPACIONS INTERVIÀRIES DE TRAÇAT SEMIREGULAR.
ASSENTAMENTS MIXTES SEMIREGULARS.
A.- JUXTAPOSICIONS.



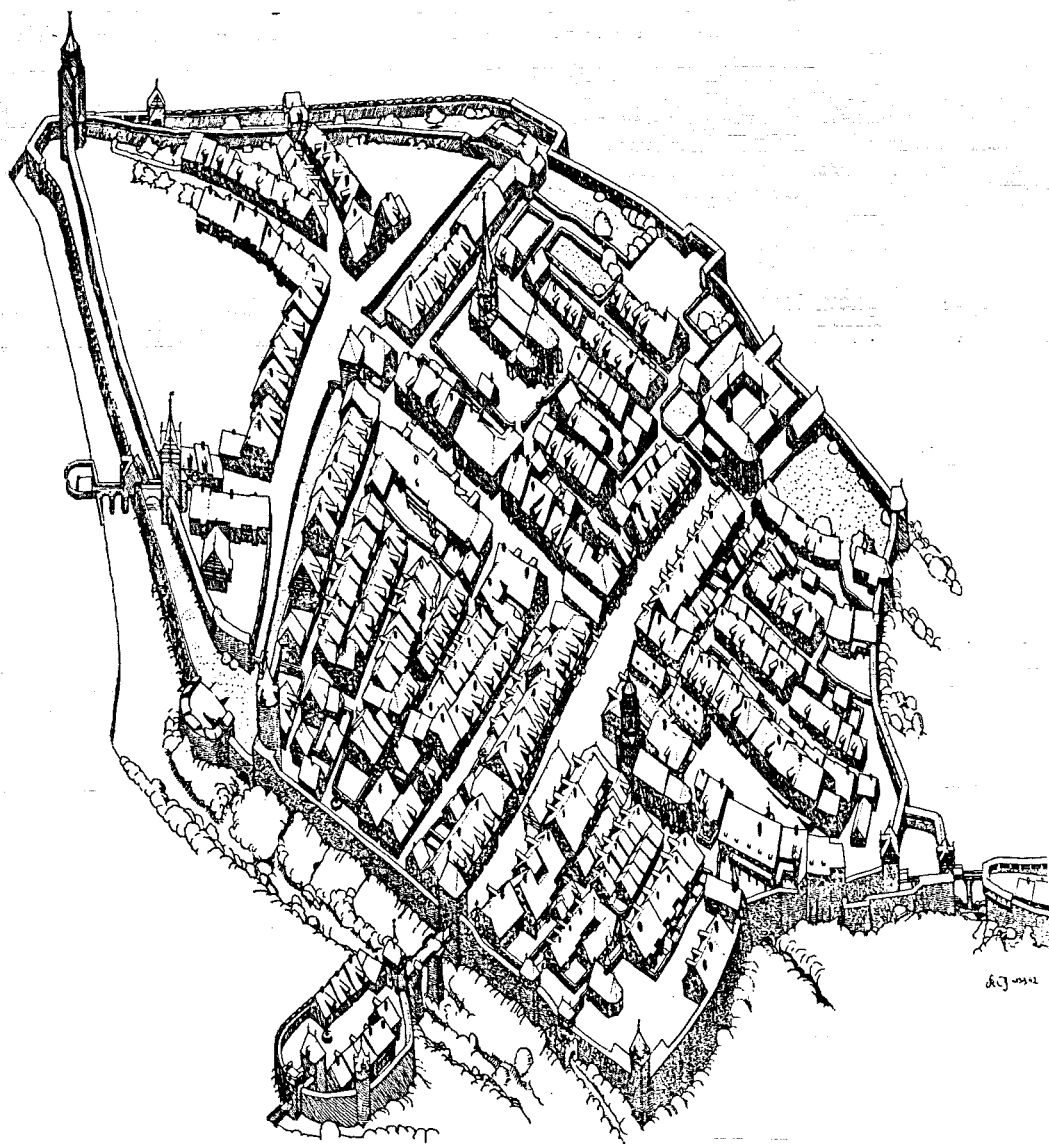
Gràfic 191.- Plànol de Carmagnola, Itàlia.

AGRUPACIONS INTERVIÀRIES DE TRAÇAT SEMIREGULAR.
 ASSENTAMENTS MIXTES SEMIREGULARS.
 A.- JUXTAPOSICIONS.



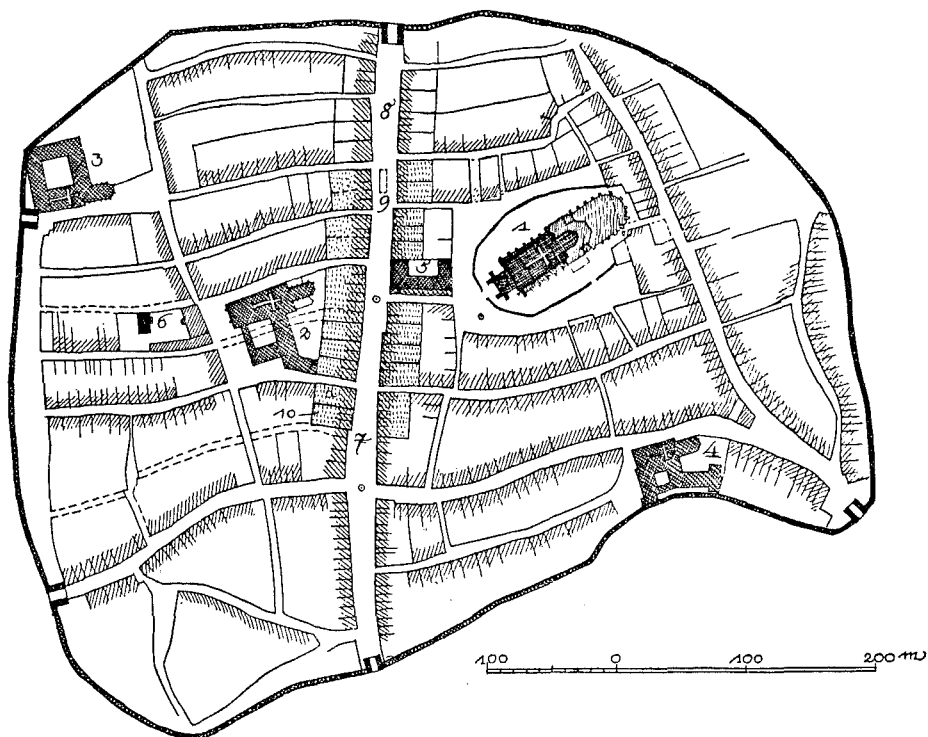
Gràfic 192-1.- Plànol de Rettweil, Alemanya.

AGRUPACIONS INTERVIÀRIES DE TRAÇAT SEMIREGULAR.
 ASSENTAMENTS MIXTES SEMIREGULARS.
 B.- SUPERPOSICIONS SIMPLES.



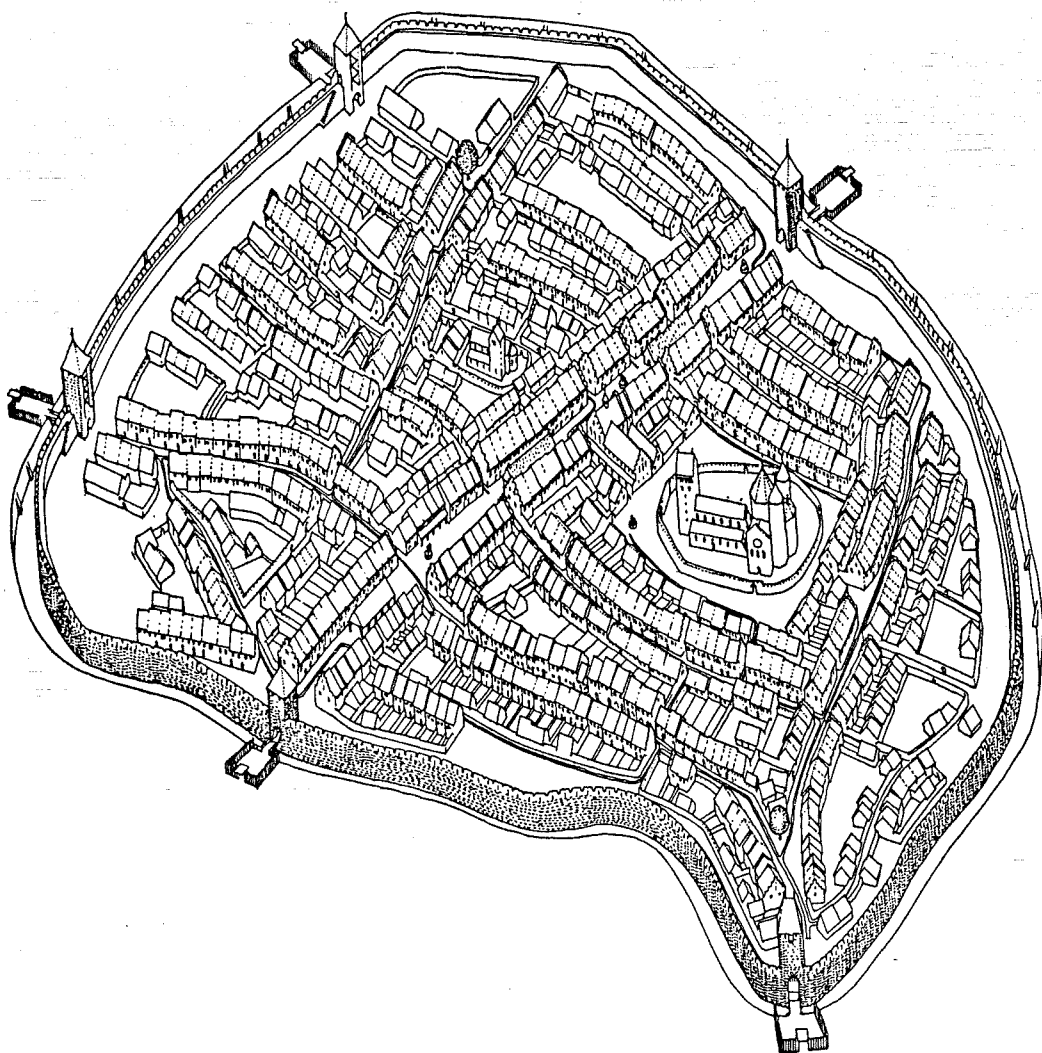
Gràfic 192-2.- Perspectiva de la Rettweil medieval, segons R. Grüber.

AGRUPACIONS INTERVIÀRIES DE TRAÇAT SEMIREGULAR.
 ASSENTAMENTS MIXTES SEMIREGULARS.
 B.-SUPERPOSICIONS SIMPLES.



Gràfic 193-1.- Ciutat alemanya medieval de Freiburg.

AGRUPACIONS INTERVIÀRIES DE TRAÇAT SEMIREGULAR.
ASSENTAMENTS MIXTES SEMIREGULARS.
B.- SUPERPOSICIONS SIMPLS.



Gràfic 193-2.- Perspectiva aèria de la Freiburg medieval.

AGRUPACIONS INTERVIÀRIES DE TRAÇAT SEMIREGULAR.
ASSENTAMENTS MIXTES SEMIREGULARS.
B.- SUPERPOSICIONS SIMPLES.



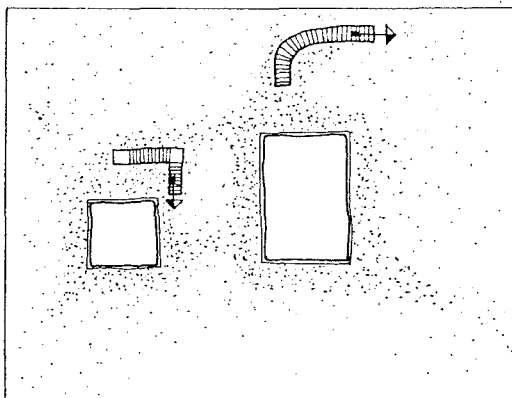
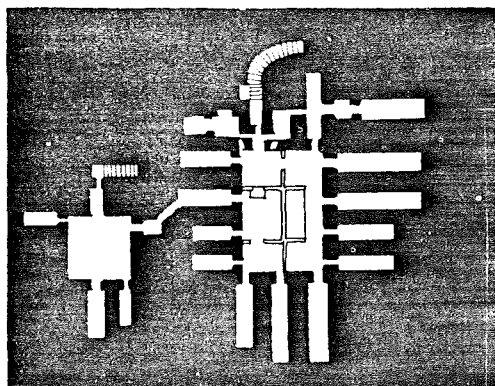
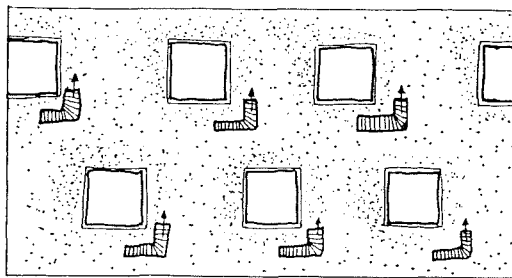
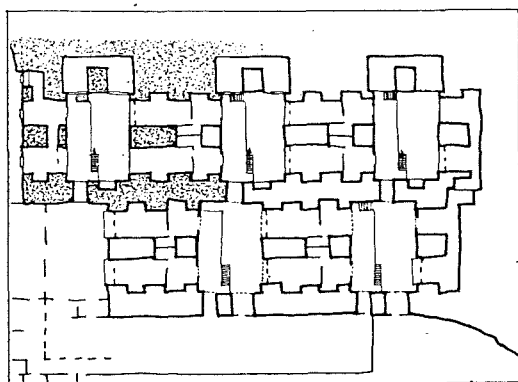
Gràfic 194-1.- Vistes aèries de pobles xinesos excavats de la província de Honnan.

AGRUPACIONS INTERVIÀRIES DE TRAÇAT SEMIREGULAR.
 ASSENTAMENTS MIXTES SEMIREGULARS.
 B.-SUPERPOSICIONS SIMPLE.



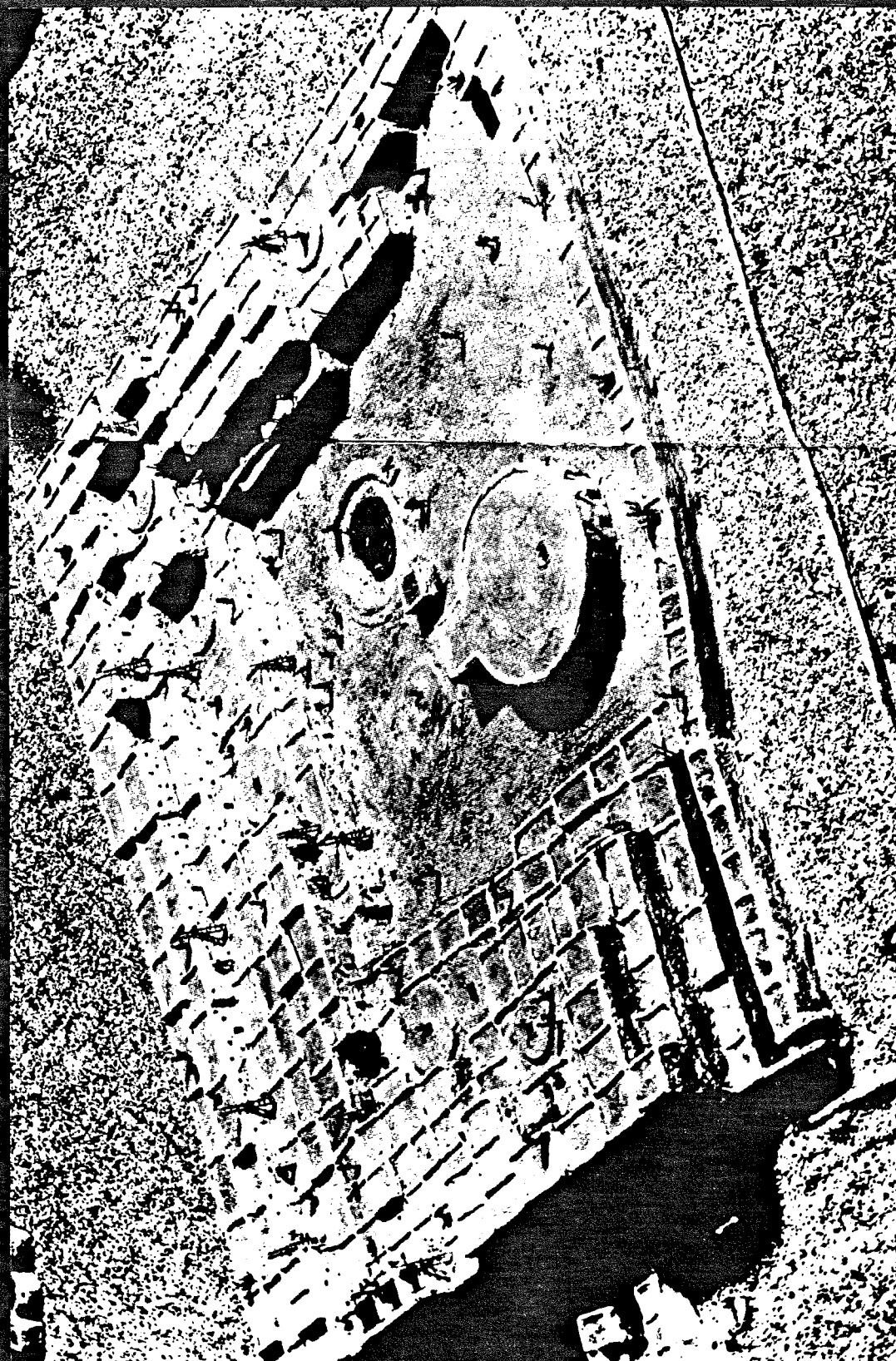
Gràfic 194-2.- Fragment de la vista anterior.

AGRUPACIONS INTERVIÀRIES DE TRAÇAT SEMIREGULAR,
ASSENTAMENTS MIXTES SEMIREGULARS,
B.- SUPERPOSICIONS SIMPLES.



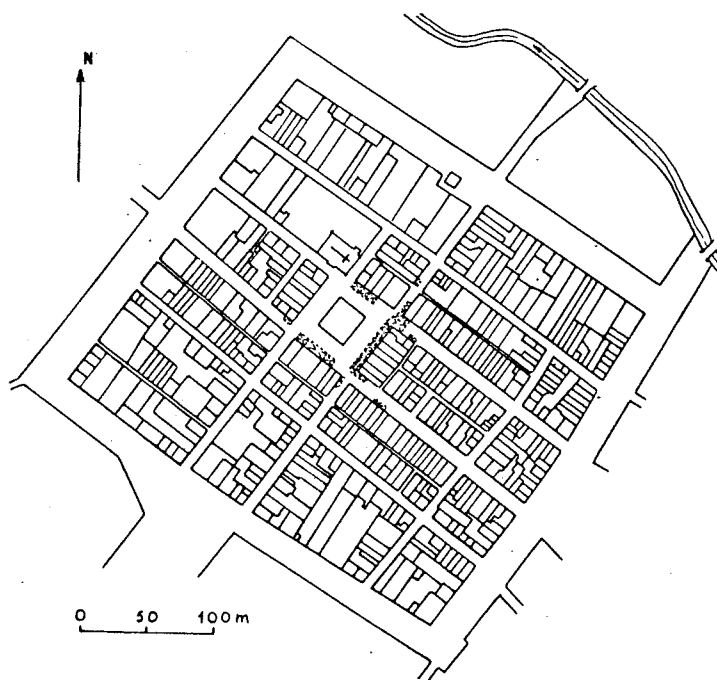
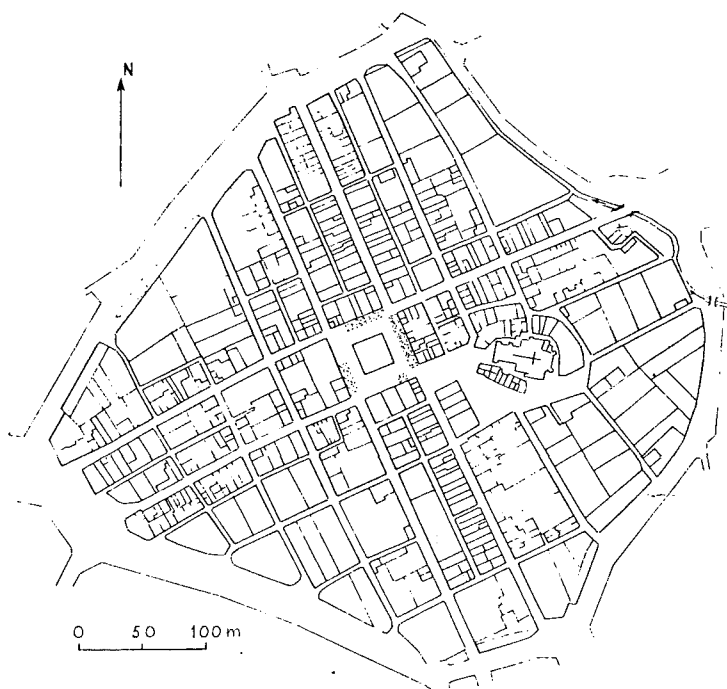
Gràfic 194-3.- Agrupació de cases escavades xineses a Luoyang i a Henan.

AGRUPACIONS INTERVIÀRIES DE TRAÇAT SEMIREGULAR,
 ASSENTAMENTS MIXTES SEMIREGULARS.
 B.- SUPERPOSICIONS SIMPLES.



Gràfic 195.- Model de poble Aztec de finals del segle XIII, Mèxic.

AGRUPACIONS INTERVIÀRES DE TRAÇAT SEMIREGULAR.
ASSENTAMENTS MIXTES SEMIREGULARS.
B.- SUPERPOSICIONS SIMPLES.



Gràfic 196.- Plànols de les bastides de Villereal i Miramont-de Guyenne vora els rius Lot i Garona respectivament.

AGRUPACIONS INTERVIÀRIES DE TRAÇAT SEMIREGULAR.
 ASSENTAMENTS MIXTES SEMIREGULARS.
 C.- DISSOLUCIONS RECRISTAL·LITZADES.